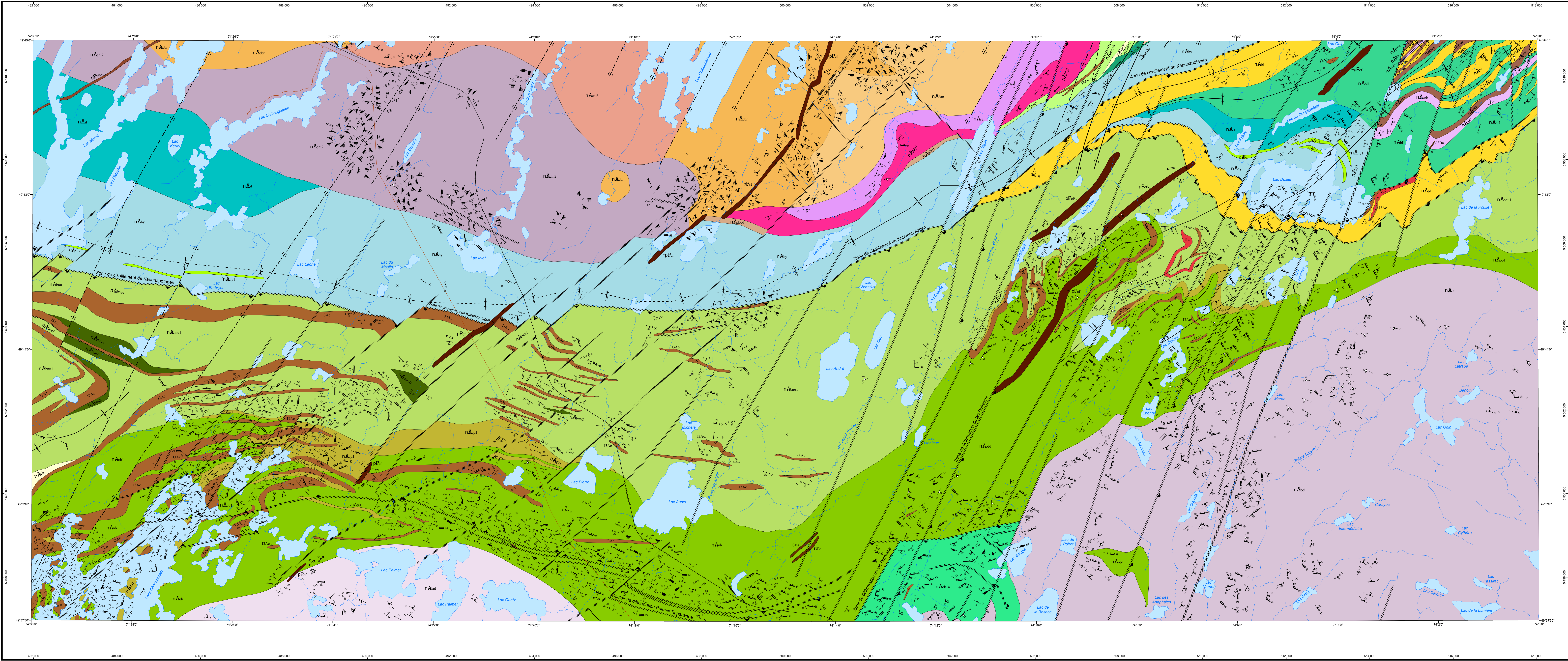


GÉOLOGIE DE LA RÉGION DE CHIBOUGAMAU

32G09-200-0201, 0202



Surface de référence géologique : Ellipsoïde GRS 80
Système de référence géodésique : NAD 83 compatible avec le système mondial WGS 84
Projection cartographique : Mercator transversale universelle (MTU), fuseau 18
Longitude d'origine : 74°15'
Latitude d'origine : 0°

0 0,75 1,5 2,25 3 km
1:50 000

Sources

Données	Organisme
Base de données pour aménagement du territoire (BDAT) échelle 1:100 000	Ministère de l'Énergie et des Ressources naturelles
Base de données topographiques et administratives à l'échelle de 1:50 000 (BDTA 2500)	Ministère de l'Énergie et des Ressources naturelles

Réalisation

Géologie : François Leclerc, Patricia Roy, Patrick Houle, Sophie Turcotte (2016)

Références : Allard, G.O. (1976) - DPV 368
Bouchard, G. (1980) - TH 1365
Côté-Martin, G. (2009) - Thèse de doctorat UQAC
Daigneault, R. (1989) - DPV 85-19
Dupette, G. (1982) - DPV 837
Henry, R.L., Allard, G.O. (1979) - DPV 583

Racicot, D. (1980) - DPV 159
Racicot, D. (1981) - DPV 834
Roux, P.-S., Bourne, A., Leclerc, F., Boulerice, A. (2014) - MB 2014-05
Thibault, P., Daigneault, R. (1984) - DP 85-11
Thibault, Y. (1981) - TH 1385

Assistance technique : Stéphanie Beauséjour, Julie Sauvageau, Kathleen O'Brien

Production : Ministère de l'Énergie et des Ressources naturelles
Direction générale de Géologie Québec

Diffusion : Ministère de l'Énergie et des Ressources naturelles
Direction de l'information géologique du Québec

Le présent document n'a aucune portée légale
Dépôt légal : Bibliothèque et Archives nationales du Québec
© Gouvernement du Québec, 2^e trimestre 2017

LÉGENDE STRATIGRAPHIQUE

PALÉOPROTÉROZOÏQUE	
Unité supérieure	
Dykes de Biscaiotte (2167 Ma, Buchan et al., 1993)	
nA_{bu}	Gabbro
Examen de dykes du Chef (2408 ± 13 Ma, Cheronovskii et al., 2014)	
nA_{bu}	Gabbro, gabbro-quartzifère
PROVINCE DU SUPÉRIEUR SOUS-PROVINCE DE L'ABITIBI NÉOARCHÉEN	
Pluton de Boilevert (2697 ± 53 Ma, Davis et al., 2006)	Tonalite et granodiorite
zone de trèche du Pluton de Chibougamau	
nA_{bu}	Androsite, gabbro et diorite de la Suite intrusive du Lac Doré fragmentées et recoupées par la diorite tonale, le rhyolite du Pluton de Chibougamau
Pluton de Chibougamau (2718 Ma ± 270 Ma, Krogh, 1982; Piche et al., 1997; McElcort et al., 2006; David et al., 2010)	
nA_{bu}	Trochylite et trondhjemite porphyrique (leucocrates)
nA_{bu}	Tonalite avec quantité subordonnée de diorite à hornblende et de diorite quartzifère à hornblende, recoupée par des dykes de tonalite et de diorite porphyrique
Pluton de la Douvelette (2719 ± 15 Ma ± 0,4 Ma, Mortensen, 1993)	Tonalite et granodiorite
Intrusion de composition mafique à ultramafique	
Suite intrusive de Cummings	
Fibron-coche de Ventures	
nA_{bu}	Gabbro et pyroxénite
Fibron-coche de Roberge	
nA_{bu}	Péridote, gabbro, pyroxénite et dunite

Suite intrusive du Lac Doré	
Unité supérieure	
zone de bordure	
nA_{bu}	Gabbro, anorthosite, pyroxénite
zone granophyrique (2728,3 ± 1,2-1,1 Ma, Mortensen, 1993)	
nA_{bu}	Granodiorite riche en quartz granophyrique
Unité libée	
zone libée (2728,3 ± 1,2-1,1 Ma)	
nA_{bu}	Dunite, dunite à magnétite, péridote, pyroxénite, gabbro, gabbro à magnétite et magnétite, vanellite
Unité inférieure	
zone anorthositique	
nA_{bu}	Anorthosite, gabbro
Groupe d'Opémiska	
Formation de Haley (2261,7 ± 1,0 Ma, Leclerc et al., 2011)	
nA_{bu}	Congrément polygénique, subarkose, clayasite, basalte et trachyle porphyrique
nA_{bu}	Andésite potassique à structure porphyrique
Formation de Stella (2704 ± 12 Ma, Leclerc et al., 2012)	
nA_{bu}	Subarkose, clayasite, congrément polygénique
Groupe de Roy	
Formation de Blondeau (2721 ± 13 Ma, Leclerc et al., 2012)	
nA_{bu}	Basalte et basalte andésitique
nA_{bu}	Volcanoclastiques felsiques, myodolite, basalte variolaire, basalte andésitique, mudstone granitique, mudstone et congrément
Formation de Brunau (2724,4 ± 1,2 Ma, Davis et al., 2014)	
nA_{bu}	Basalte et basalte andésitique, amphibolite

Groupe de Roy	
Formation de Waconichi	
Membre de Quoylus (2728,7 ± 1,0 Ma, Leclerc et al., 2011)	
nA_{bu}	Roche volcanoclastique mafique à felsique, rhyodacite
Membre de Lemoine	
Unité supérieure du membre de Lemoine	
nA_{bu}	Diorite
nA_{bu}	Dacite porphyrique
nA_{bu}	Basalte à andésite
Unité inférieure du membre de Lemoine	
nA_{bu}	Andésite et dacite avec 2 à 10 % de phénocristaux de quartz d'un diamètre de 2 à 6 mm et 3 à 10 % de phénocristaux de plagioclase d'un diamètre de 1 à 5 mm
nA_{bu}	Dacite et rhyolite porphyriques avec 2 à 5 % de phénocristaux de quartz d'un diamètre de 1 à 2 mm, roches volcanoclastiques dérivées
membre de Chiverton	
nA_{bu}	Dacite porphyrique, tuf à blocs et à lapilles intermédiaire, intrusion felsique
Formation d'Obitogamau	
nA_{bu}	Basalte andésitique
nA_{bu}	Amphibolite à grenat et clinopyroxène
LÉGENDE LITHOLOGIQUE	
PROTÉROZOÏQUE	
nA_{bu}	Dyke de diabase et de gabbro
nA_{bu}	Intrusion felsique à phénocristaux de plagioclase ou à phénocristaux de plagioclase et de quartz
nA_{bu}	Gabbro, diorite, leucogabbro, localement pyroxénite

Les symboles et abréviations utilisés sur cette carte sont décrits dans la publication DV 2014-06 du ministère de l'Énergie et des Ressources naturelles.

32G09-200-0201, 0202

RG 2015-03-C003

Carte du rapport RG 2015-03
Pour obtenir les données les plus récentes concernant cette région,
nous vous suggérons de consulter les produits géomatiques du
Système d'information géomatière du Québec (SIGEMQ).

